

山口大学 正員 加賀美一之 山口県庁 正員 附藤孝豊
○長谷川博 山口大学 正員 齋藤博治

1. まえがき

構造物コンクリート強度の判定方法として、圧縮強度については、現場コンクリートの諸条件に準じた標準供試体による方法、非破壊試験方法、フイア供試体による方法(フイア表示、198年)などがあるが、引張強度試験方法に関しては、その方針が示されていない現状である。実施コンクリートの強度を直接判定するためには、フイア供試体にやらなければならないが、この場合、採取時にドリルの振動に子つて取き方角のせがりや不規則なリング状跡が生じ、供試体の側面状態が不整であるので、この状態で直接引張強度試験を行なうことは困難である。

以上のことから、著者らは、載荷時に上下接触面に直線性をもたせる方法として、フイア供試体の直立方向両側に硫黄で加圧分布ア (図-1) を施し、二刀両面に載荷する方法を採用してみた。また、これらフイア供試体に対して安定した荷重關係をうるために、曲面載荷方法も試み、加圧分布アの形状、側面形状と補正係数、載荷方法の相違による影響などについて型わくが形の基準供試体とともに比較検討したのでその結果を報告する。

2. 使用材料

セメントは山社、普通ポルトランドセメント、比重=3.15
細骨材の比重、摩擦率および粗粒率は、それぞれ 2.58, 64.0,
2.35, 粗骨材(砕石)は 2.66, 61.5, 2.54であり、粒径の範
囲が 5~15, 15~25, 25~40 mm の各粒を準備し等量充用いた。

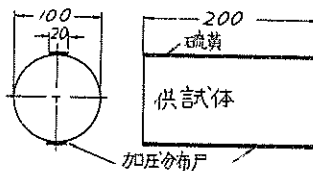


図-1 加圧分布ア

3. 実験方法

3.1 コンクリートの配合、一般コンクリートに相当する範囲において配合強度と粗骨材の最大寸法を変化させ、一定のスランプ値を目標として決定した配合を表すと表-1 のとおりである。

3.2、供試体の製作 フイア供試体採取用コンクリート版(厚さ22cm)を打設しの10×20cm 基準供試体

の製作作業は同時に行ない、两者とも同一養生条件とするため基準供試体を室外に設けたコンクリート版の側面で湿砂養生を行った。打設後6週間を経て、図-2 のごとくフイア供試体の採取を行ない、コンクリートカッターで両端面を切削し、高圧研磨機で上下両端面を正確に仕上げた。

3.3、フイア供試体の側面形状の記録、引張強度試験においては接触面の不規則性が試験値に大きく影響することなどが認められるので、全フイア供試体について、図-3 の装置で側面状態を記録した。その一例を示すと図-4 のとおりである。

3.4、加圧分布アとその成形方法、加圧分布アは、縦付け金具をもつて平の角鉄で幅が20mm とねらすように供試体の取き方角に固定し、そのあいだに熔接した硫黄を注ぎこみ固結させたものであ

表-1. コンクリートの配合

混 合 強 度 と 種 別 (kg/cm ²)	配 合 強 度 と 種 別 (kg/cm ²)	粗 骨 材 の 最 大 寸 法 (mm)	水 泥 料 の 比 率 (kg/m ³)	水 泥 料 の 比 率 (%)	水 泥 料 の 比 率 (%)	細 骨 材 の 比 率 (%)	単位量, kg/m ³			
							W	C	S	G
I	150	25	350	20.5	20.7	13.2	13.2	16.2	18.8	22.6
	x	25	350	20.5	20.7	13.2	13.2	16.2	18.8	22.6
II	240	30	350	21.0	22.0	13.2	13.2	16.2	20.0	24.0
	x	30	350	21.0	22.0	13.2	13.2	16.2	20.0	24.0
III	300	35	350	21.5	22.5	13.2	13.2	16.2	20.0	24.0
	x	35	350	21.5	22.5	13.2	13.2	16.2	20.0	24.0

る。これを成形厚さが 2 mm とし、成形アの両面が軸方向に対して平行となるように、曲面(直角 100 mm)に貼りつけたサンダペーパーで仕上げ、分布アの側面は接着剤でよく密着させた。これらの供試体は写真-1 のとおりである。

3.5 試験方法

圧縮強度試験は材令 6 週で気乾状態のものについて JIS A 1108 に準じて実施した。コア供試体は成形後には $h/d = 2$ となるように統一できなかったので、直角と高さを測定し試験結果を補正した。(付、標示、P-206)

引張強度試験は JIS A 1113 による平面載荷方法と成形供試体に対する載荷時の安定を考え、直角 100 mm の曲面載荷方法も併用した。載荷装置を写真-2 に示した。

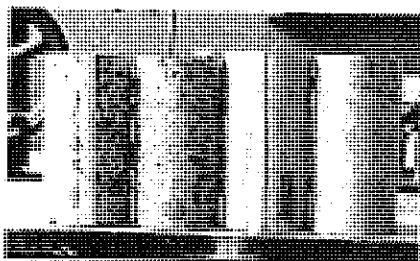


写真-1 供試体

4. 圧縮強度試験結果と考察

圧縮強度試験の結果は図-5 に示した。

4.1 圧縮強度試験結果について、基準供試体とコア供試体強度は図-5 によれば、各種配合ともコア供試体強度が大きく、同時につくったコンクリートでも基準供試体よりも実施コンクリート強度が大きくなっていることを示している。このことは、コアコンクリート用版の打設に際して振動捣撃機を用いたこと、コア供試体はその周辺における碎石の砕削形が良いことによるものであろう。

5. 引張強度試験結果と考察

5.1 加圧分布アの効果とその影響

図-6 は、基準供試体に対する原形および成形供試体の引張強度比を示したものである。供試体の種別が 4 種にわかれているので、まず、A と C の関係について

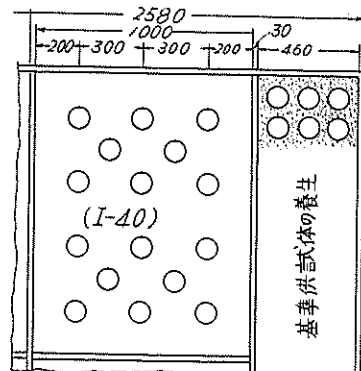


図-2 コア採取用コンクリート版

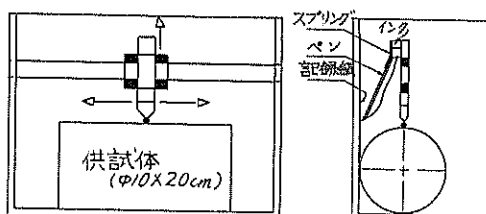


図-3 形状記録装置

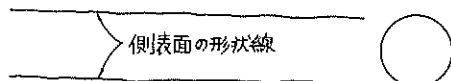


図-4 形状記録の一例

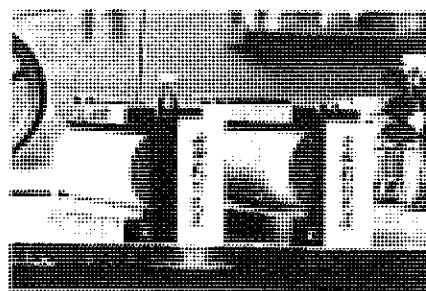


写真-2 載荷装置

てみると、c供試体はa線に沿うるばらつきはあるがほぼ近似した値とみなされる。d供試体は大部分がa線より上部に分布し、圧縮強度の場合と同様にc供試体より大きい比率を示した。b供試体はdの場合とは逆にその大部分がa線以下に分布し相当小さい比率を示した。

以上のb, c, d供試体の引張強度比から、側面形状の不整な原形コア供試体(b)で試験すると、強度が減少が大きいためではなく信頼性のエラーや問題点が多く、従って、次項へのべる補正係数を参考にし結果値を修正する必要がある。

加压分布戸を施した成形供試体(c, d)は側面の直線性の良否には関係なく、いずれの場合も、ほぼだらかな値を示したものと考えられる。しかし、これらのほかにも試験中に放形アの不良が発見され、強度の低下を引きしたものもあるので、成形戸の仕上げについて十分の注意を払わなければならぬ。

5.2 側面の非直線性と引張強度

不規則コア供試体の側面形状を統一しておらはすために、記録した形状に基準の直線を仮定し、この直線と接触しない長さ(l')と供試体長(l)との非接触比(l'/l)とし、図-7(a), (b)は非接触比と基準供試体に対する強度比の関係である。こゝ図より、側面の直線性がほぼ完全に近いとみなされるものは10%以下であり、そのうち、非接触比は0~70%まで均等に分布した。b供試体は、非接触比が大きくなるにつれて強度比が低下し、減少率は、非接触比10%につき2%程度とみられる(補正線)。d供試体は、非接触比の影響はみられず、硫黄成形による側面の形状改善の効果は十分であると判断できる。

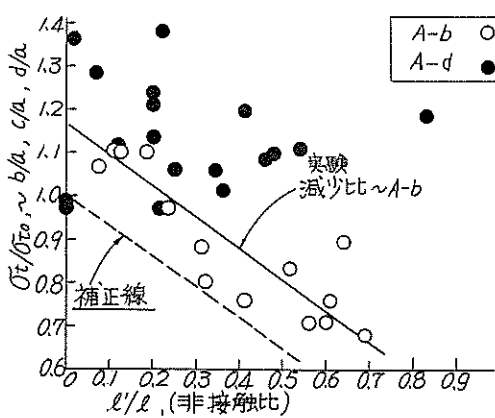


図-7(a), 非接触比と引張強度の関係

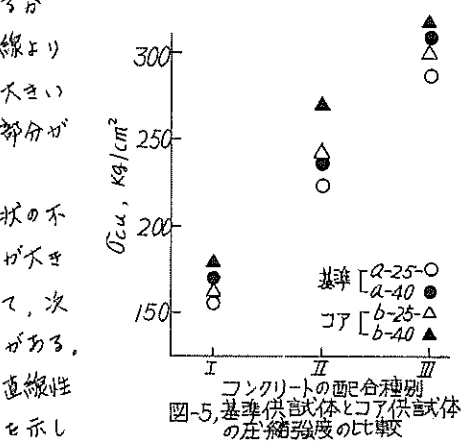


図-5, 基準供試体とコア供試体の圧縮強度の比較

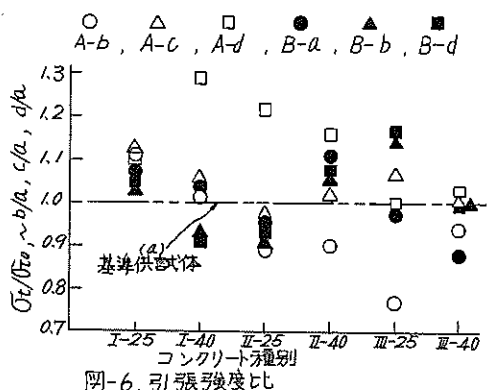
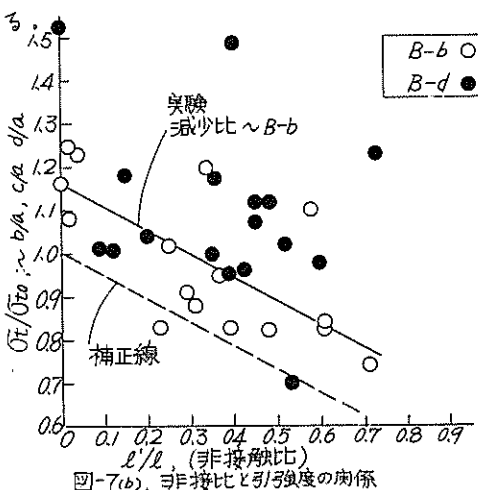


図-6, 引張強度比



5.3 曲面載荷方法、成形供試体は、図-1 カラウに成形アの厚さ(2mm)だけ形状に向かう。そのため、上下成形アの中心と加力方向を一致させることができず困難である。また、原形コア供試体は側面の不対称によって、載荷と同時に接触線が移動するなど、両供試体とも試験時にかかる設定上の問題点が考えられるが、曲面載荷方法によれば曲面の性質を利用して、中心の一歯は割合簡単に位置でき、さらに、載荷歯と供試体とのあいだの接触巾によつて、接触線の偏向移動もあらかじめ防ぐことができるようである。つぎに、半径が異なる二つのローラー面上における載荷溝の接触巾および最大反応応力を Hertz の式(1), (2)を適用して求めみると表-2 のとおりである。

$$\frac{b}{3} = \frac{4P}{4\ell} \sqrt{\frac{(1-\lambda)^2/E_1 + (1-\lambda)^2/E_2}{1/R_1 + 1/R_2}} \quad \dots \dots (1)$$

$$\text{MAX. } \delta = \frac{4P}{\pi b L} \sqrt{\frac{1/R_1 + 1/R_2}{1 - \nu^2/E_1 + 1 - \nu_2^2/E_2}} \quad \dots \dots (2)$$

$$\delta y = \frac{2\bar{P}}{\pi d \ell} \left(\frac{4d^4}{(d^2 - 4x^2)^2} - 1 \right) \quad \dots \quad (3)$$

表-2. 斜面載荷方法における接触端部最大変位応力

接触巾について Mische は巾が 4.0 cm ($\phi 15 \times 30$ cm) で材料は厚い ポール紙が最適であるとのべり、
二と、赤鉄酸における 分布アーチ模様と成形作業、供試件と破壊状況、計算結果などから判斷し、
分布アーチ巾が 2.0 cm で十分であると思はれるが、その力学的関係上の最適巾は今後検討を要する。

破形係数試験の $\max\delta$ は σ_c の下限値とほぼひとしく、このため、 σ_c/σ_0 について的一般限界比に達したが、 $\max\delta \times \sigma_c$ は、コンクリート標準示 1-4, 120 条、 σ_c が 21-170 条 にかけて $\sigma_c a \leq 0.3 \sigma_{cte}$ 、 $\sigma_c a \leq 60 \text{ kg/cm}^2$ と示されており、いま、安全率を 3 とみせば $\max\delta$ は許容範囲内の値といえる。

5.4. 変動係数 各供試体ごとの変動係数の平均値を表-3 からみると基準供試体(a)と基準成形供試体(c)ではその差ではなく、また、コア成形供試体(d)も a, c 供試体に近似した値となり、従って変動係数の面においても 加压分布の

表-3. 各供試條件の変動係数

試験 方法	供 試 体	コンクリートの種別						平均強 度
		I-25	I-40	II-25	II-40	III-25	III-40	
A	2	11.6	30.8	2.6	3.3	3.3	1.8	$\alpha = 5.5^{\circ}$ $b = 12.5^{\circ}$
	5.0	5.0	7.0	12.9	6.6	6.6	3.7	
	5.5	8.6	6.3	3.6	2.2	3.7	7.5	
B	2	6.5	3.8	2.5	3.1	6.2	3.2	$c = 5.6$ $d = 6.9$
	5.0	10.7	42.7	6.3	2.0	2.7	1.7	
	5.5	7.9	5.4	17.7	14.2	14.2	16.3	

白 繪 言

左表の結果から要項は次のとおりである。

(1) 側面状態の手探りコア試験柱の側面に直線性をもたせる一方で、端面で加圧分布アーチを施した結果、信頼性のある引張強度値をうることができた。成形材料については、ウッドメタル、プラスチック系材料など、現在市販されているものもあるが、硫黄分布アーチを通していふと思はれる。

(2) 補正係数は原形と供試体で引張強度を算定する場合の参考としたものであるが、側面形状が並び非接触比の測定など一般的には問題点を残しているので、成形供試体によることが望ましい。

(3) 曲面裁荷方法は供試体設定位の操作は簡便である。平面裁荷方法と比較して、よりくに柔軟な現象は扱いが力学的関係上より実現性から一加圧面積率 α が $2.0 \sim 3.0 \text{ cm}^2/\text{cm}$ 程度が適切であると思われる。曲率については、直角 15°m ~ 25°m の場合に対する実験を行ない、適正な値を決定する所である。

(4) ツヤ供試体の圧縮強度が薄にむたり、上下加压面の平行仕上げは容易でないるので、本文記述の方法による引張強度の結果を圧縮強度に換算することも考慮された。